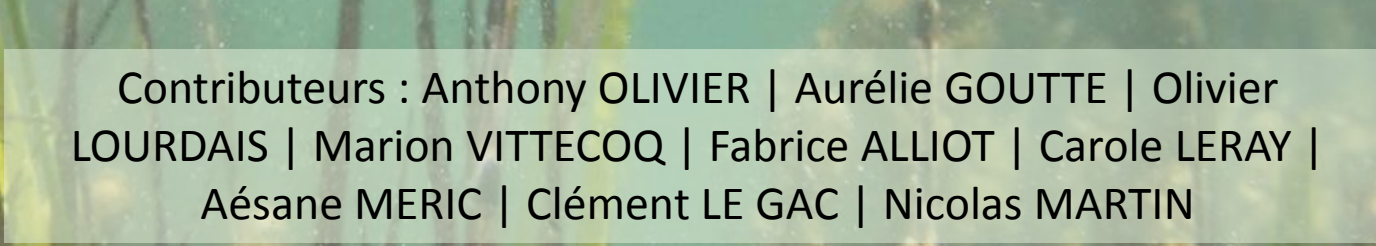




Contamination plasmatique chez la cistude d'Europe dans une zone humide méditerranéenne

Louisiane BURKART











Résultats

Discussion et perspectives

> Cheiron et al., 2018 Comoretto et al., 2007

Les zones humides méditerranéennes =

- réservoirs de biodiversité
- fortement impactées par les activités humaines (≠ sources)
- exposées à des cocktails d'éléments toxiques





Contexte

Objectifs

Matériel et méthodes

Résultats

Discussion perspectives



Environmental Pollution

Volume 157, Issues 8-9, August-September 2009, Pages 2493-2506



Organochlorines in the Vaccarès Lagoon

trophic web (Biosphere Reserve of Camargue, France)

H. Roche ^a 🎖 🗹 , Y. Vollaire ^a, A. Persic ^a, A. Buet ^a, C. Oliveira-Ribeiro ^b, E. Coulet ^c, D. Banas ^a, F. Ramade ^a



Environmental Pollution

Volume 153, Issue 2, May 2008, Pages 424-431



Bioaccumulation of polychlorinated biphenyls in the eel (Anguilla anguilla) at the Camargue Nature Reserve – France

C.A. Oliveira Ribeiro a A M, Y. Vollaire b, E. Coulet c, H. Roche b



Chemosphere

Volume 65, Issue 10, December 2006, Pages 1846-1858



Aquatic Toxicology

Volume 74, Issue 1, 15 August 2005, Pages 53-69



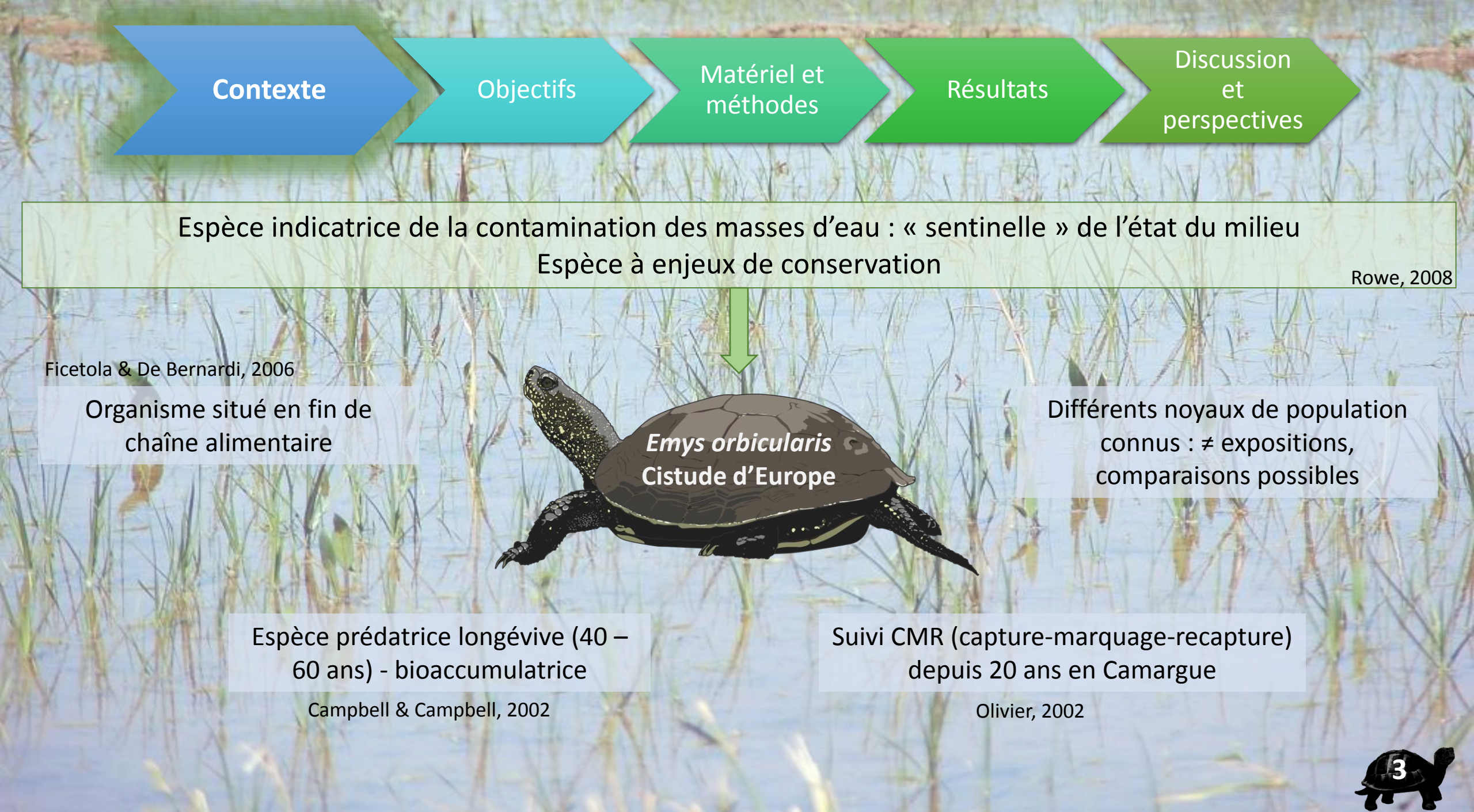
Bioaccumulation and the effects of organochlorine pesticides, PAH and heavy metals in the Eel (Anguilla anguilla) at the Camargue Nature Reserve, France

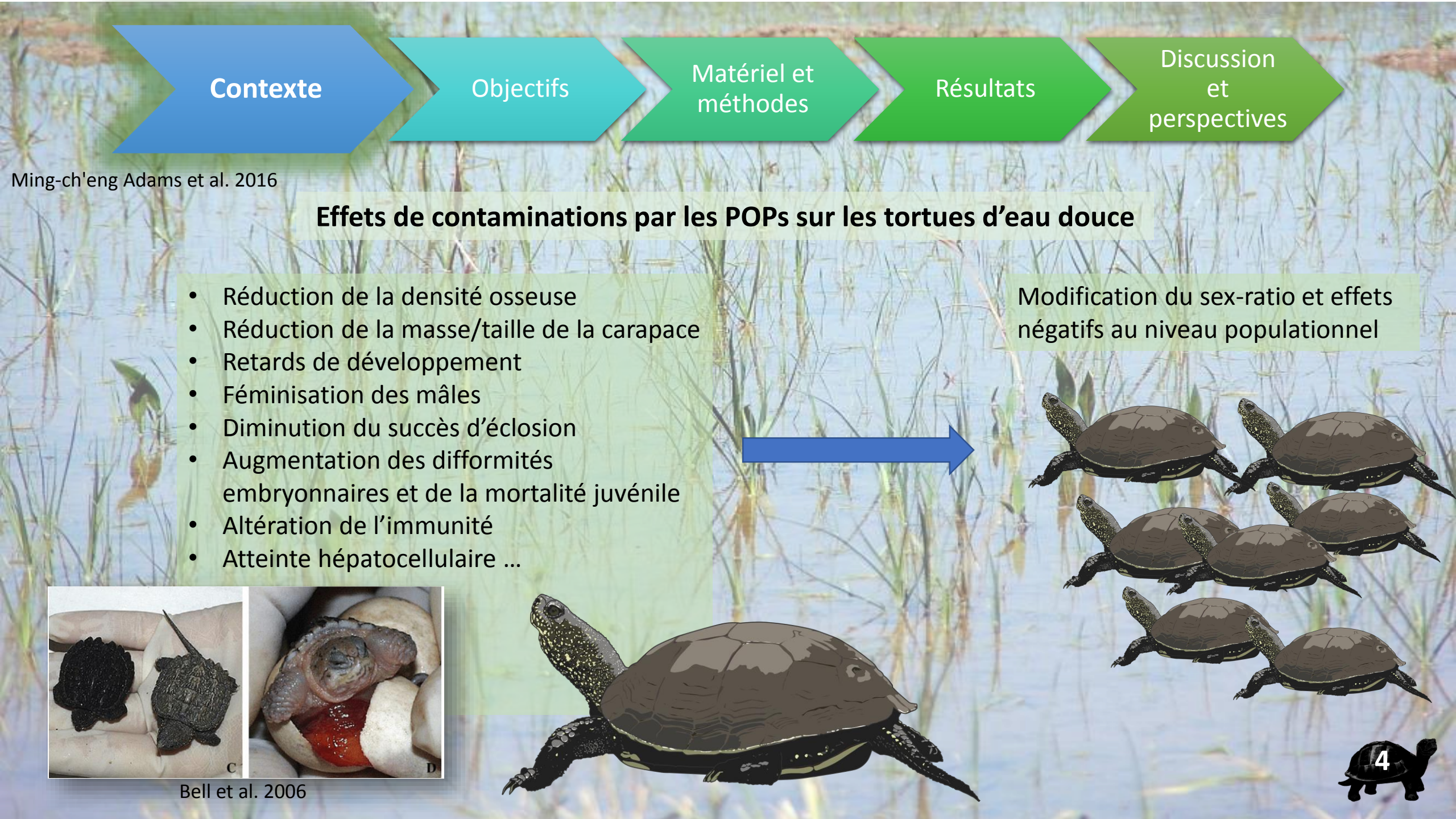
C.A. Oliveira Ribeiro a, Y. Vollaire b, A. Sanchez-Chardi c, H. Roche b A 🖾

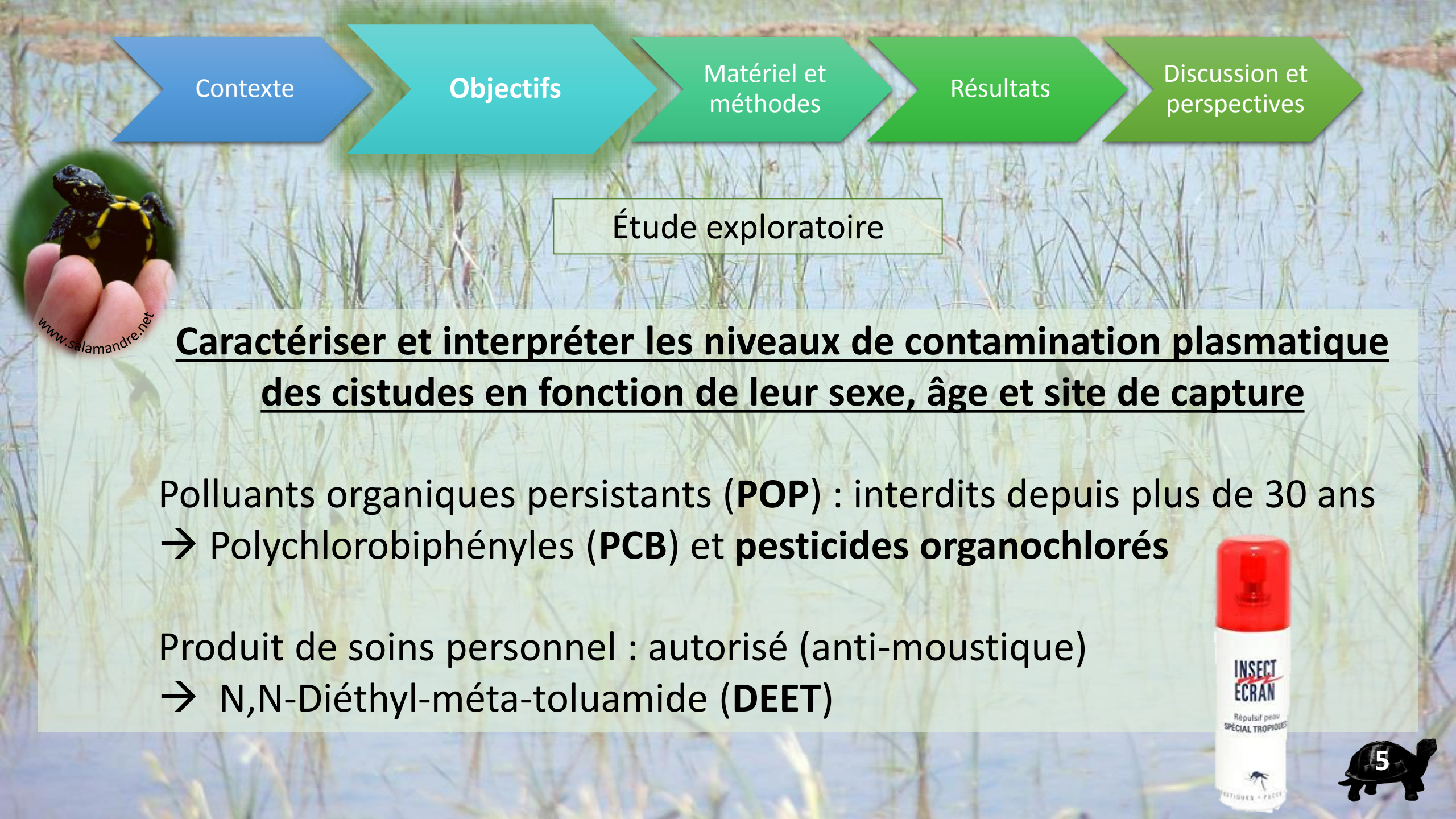
Biomarker responses in European eel (Anguilla anguilla) exposed to persistent organic pollutants. A field study in the Vaccarès lagoon (Camargue, France)

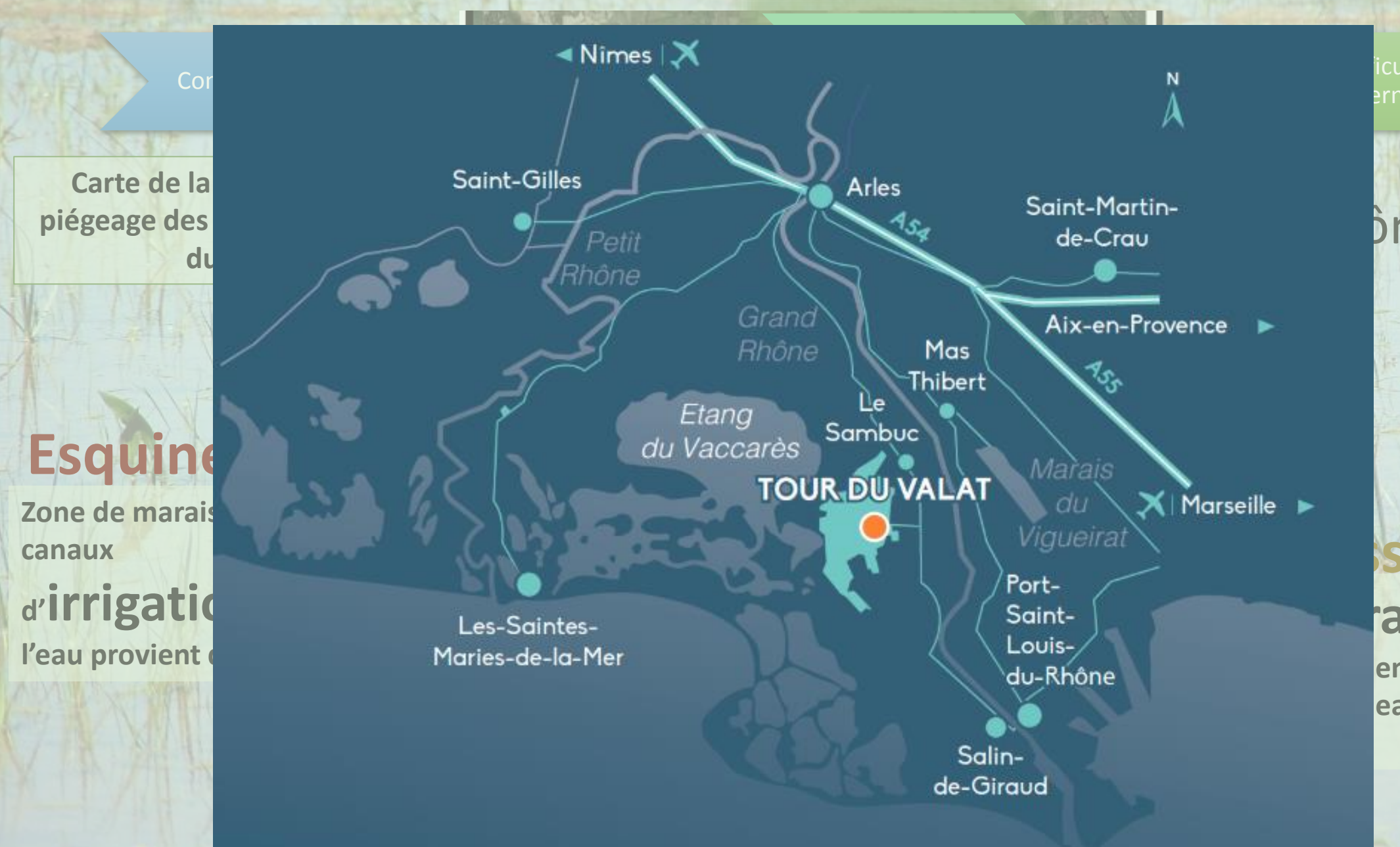
Astrid Buet a, Damien Banas b, Yan Vollaire b, Eric Coulet c, Hélène Roche b A 🖾









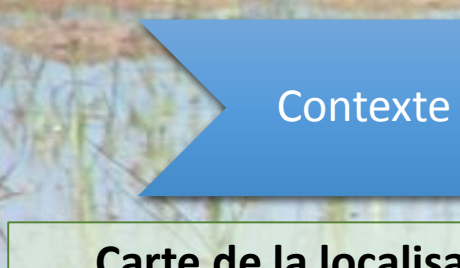


icultés e ernative

òne

cainage du emorte et des eau par ces





Objectifs

Matériel et méthodes

Résultats

Difficultés et alternatives

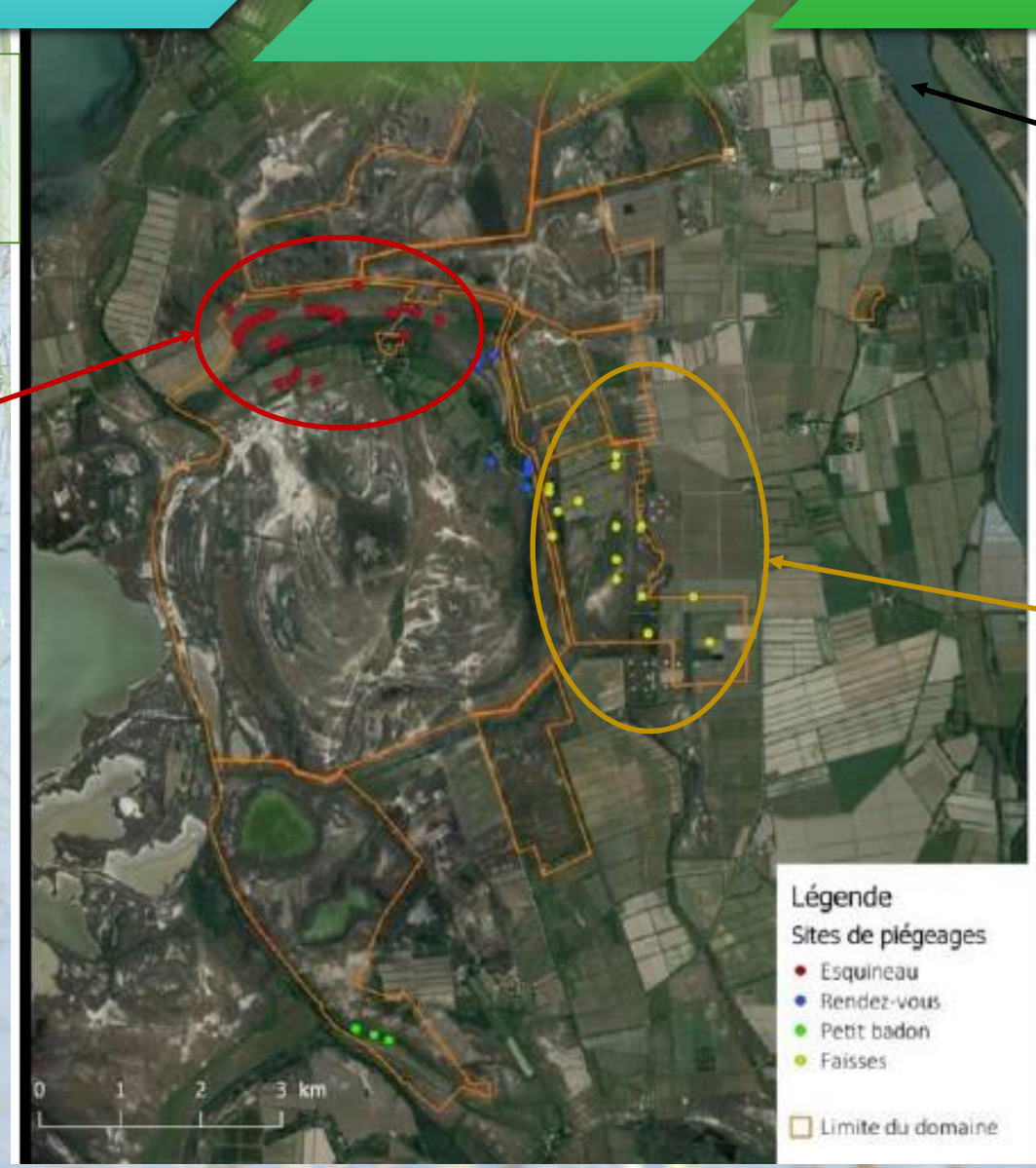
Le Rhône

Carte de la localisation du piégeage des cistudes à la Tour du Valat

Esquineau

Zone de marais et de canaux

d'irrigation dont l'eau provient du Rhône

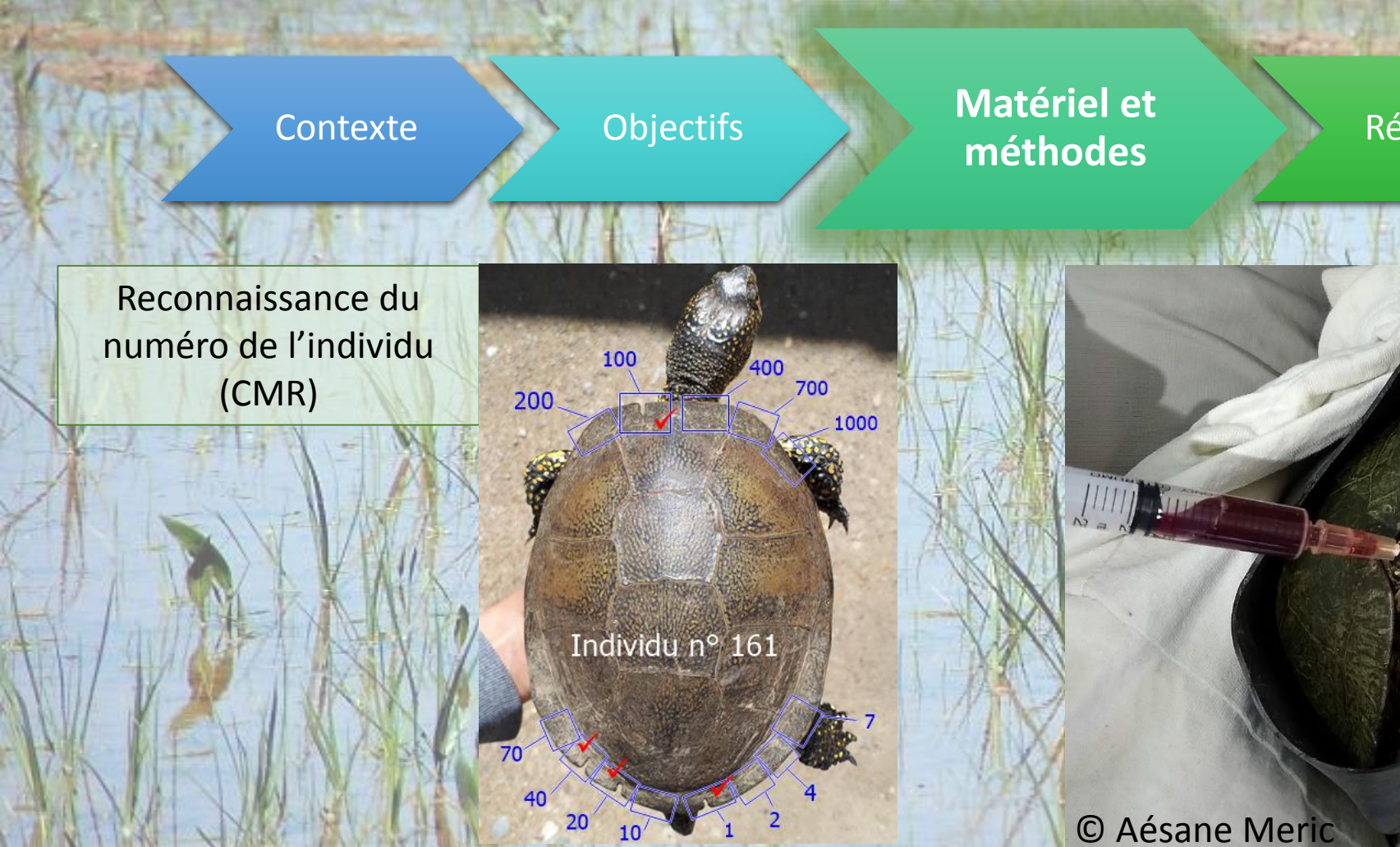


Faisses

Canaux de **drainage** du bassin du Fumemorte et des marais mis en eau par ces canaux







Résultats

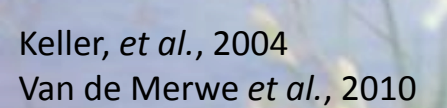
Difficultés et alternatives

Prise de sang au niveau de la veine coccygienne dorsale

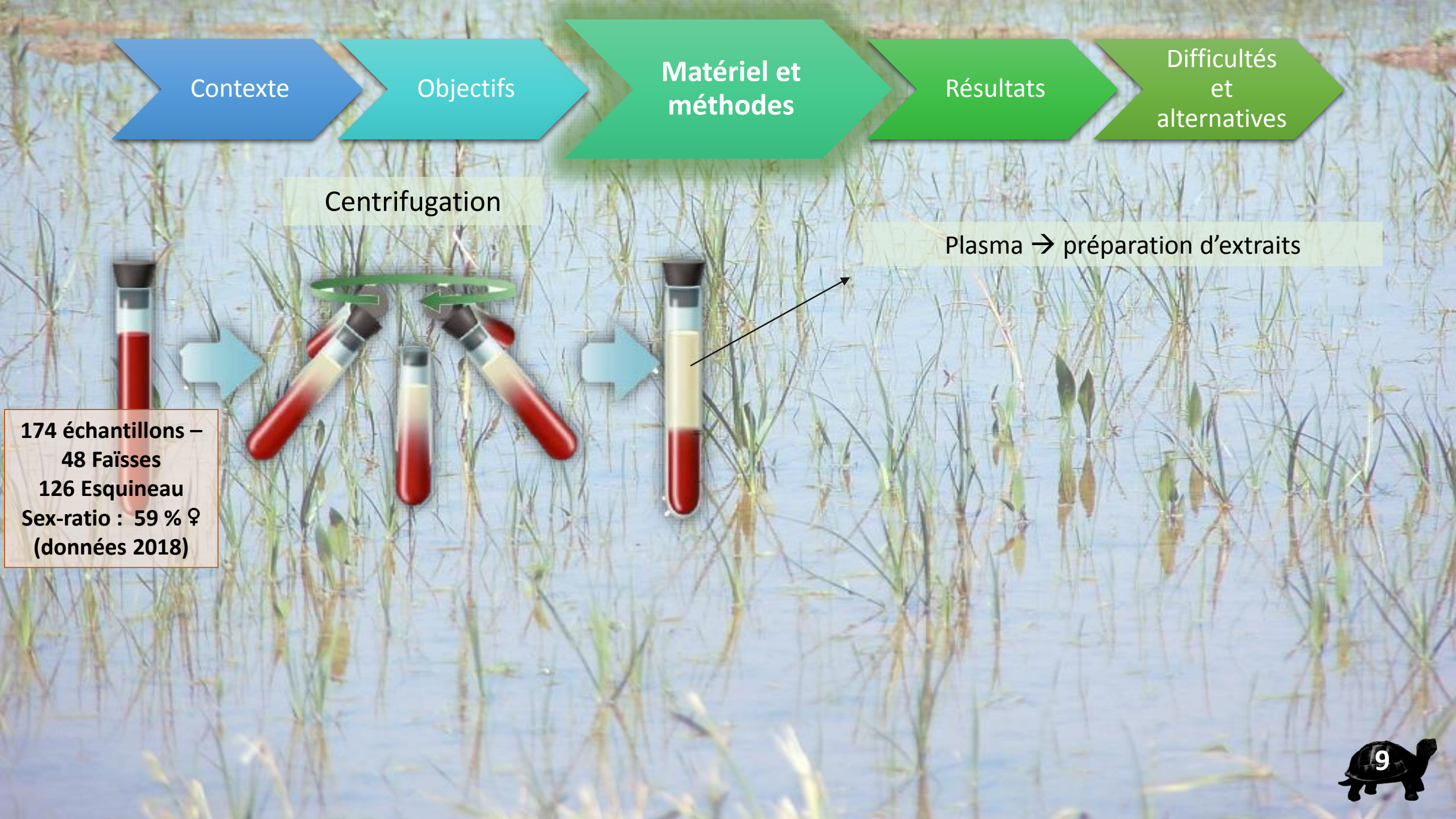
1,5 - 2ml

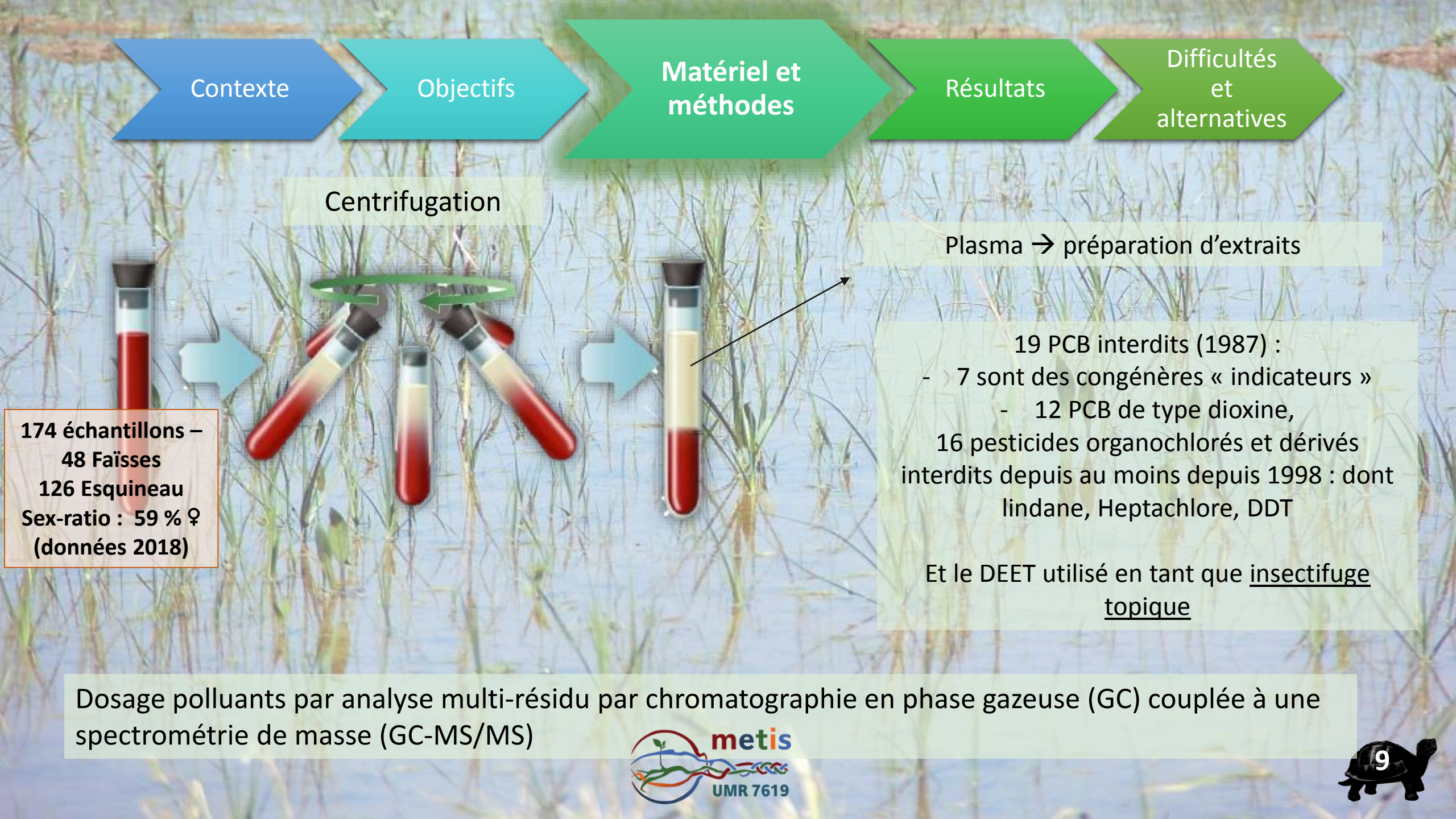
Mesurer la bioaccumulation relative (POP) : le sang de tortue est une alternative appropriée aux tissus adipeux et autres organes bioaccumulateurs

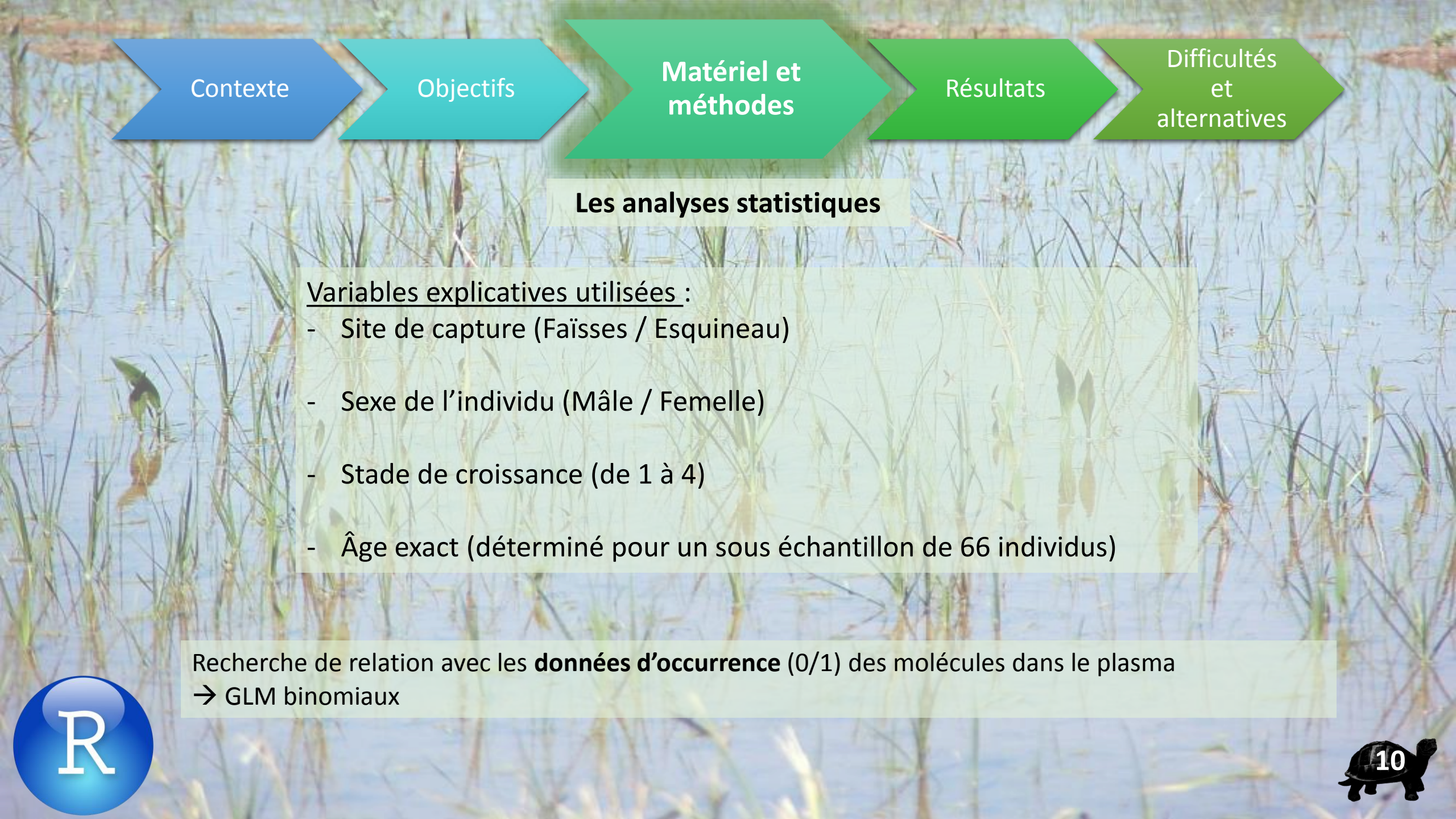
collecte non destructive sur tortues vivantes et possibilité de suivi

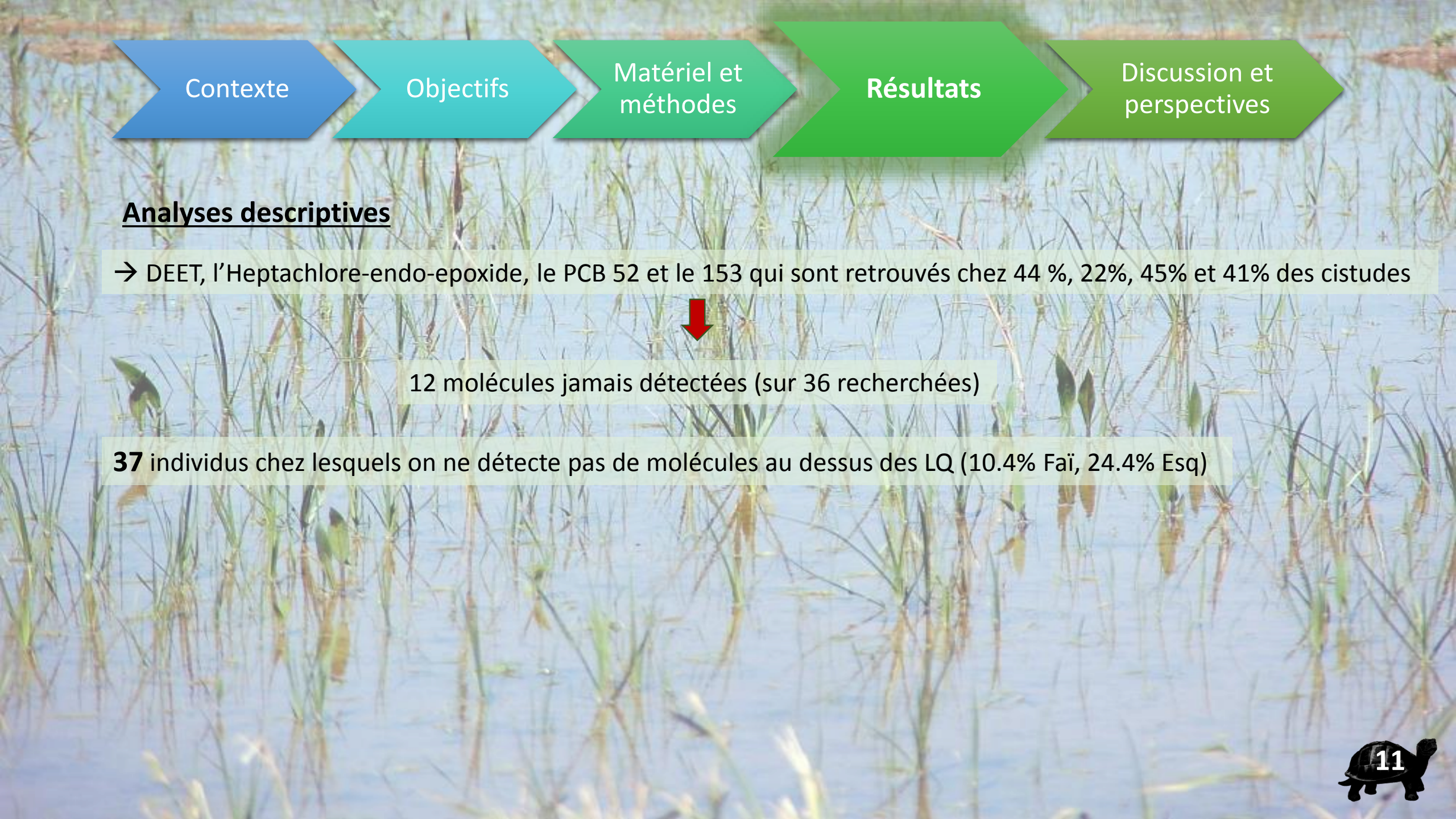


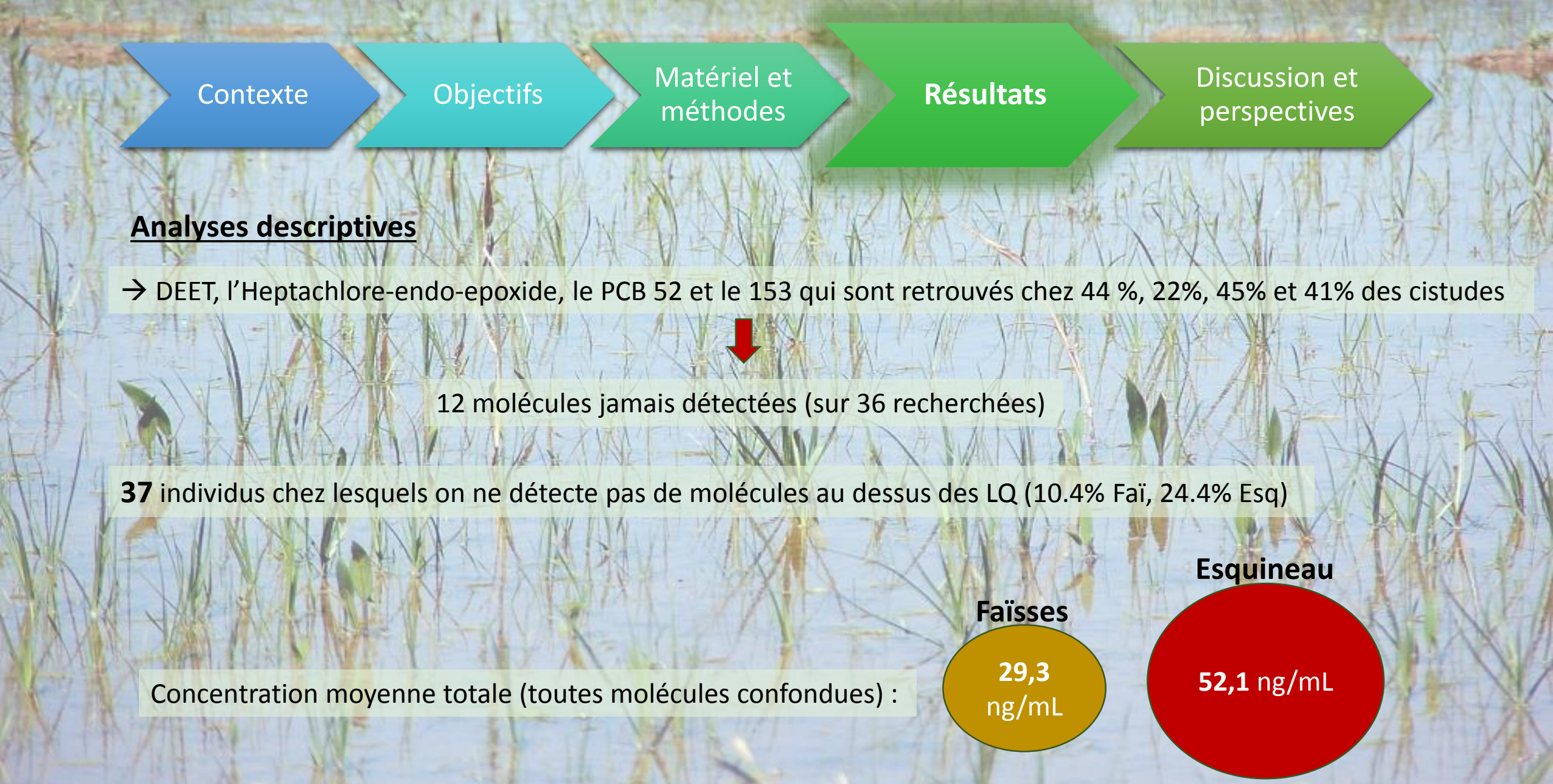




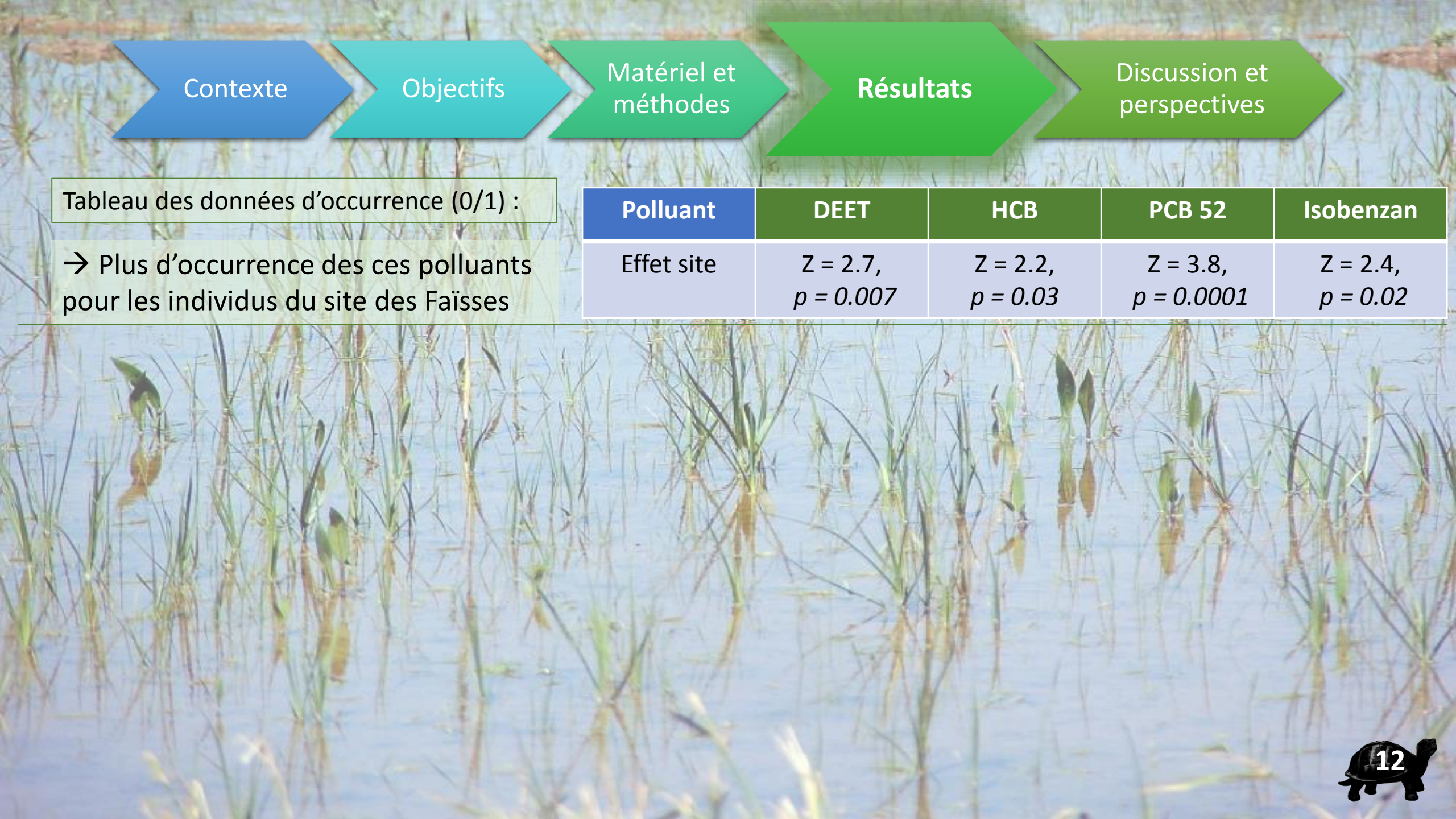












Matériel et méthodes

Résultats

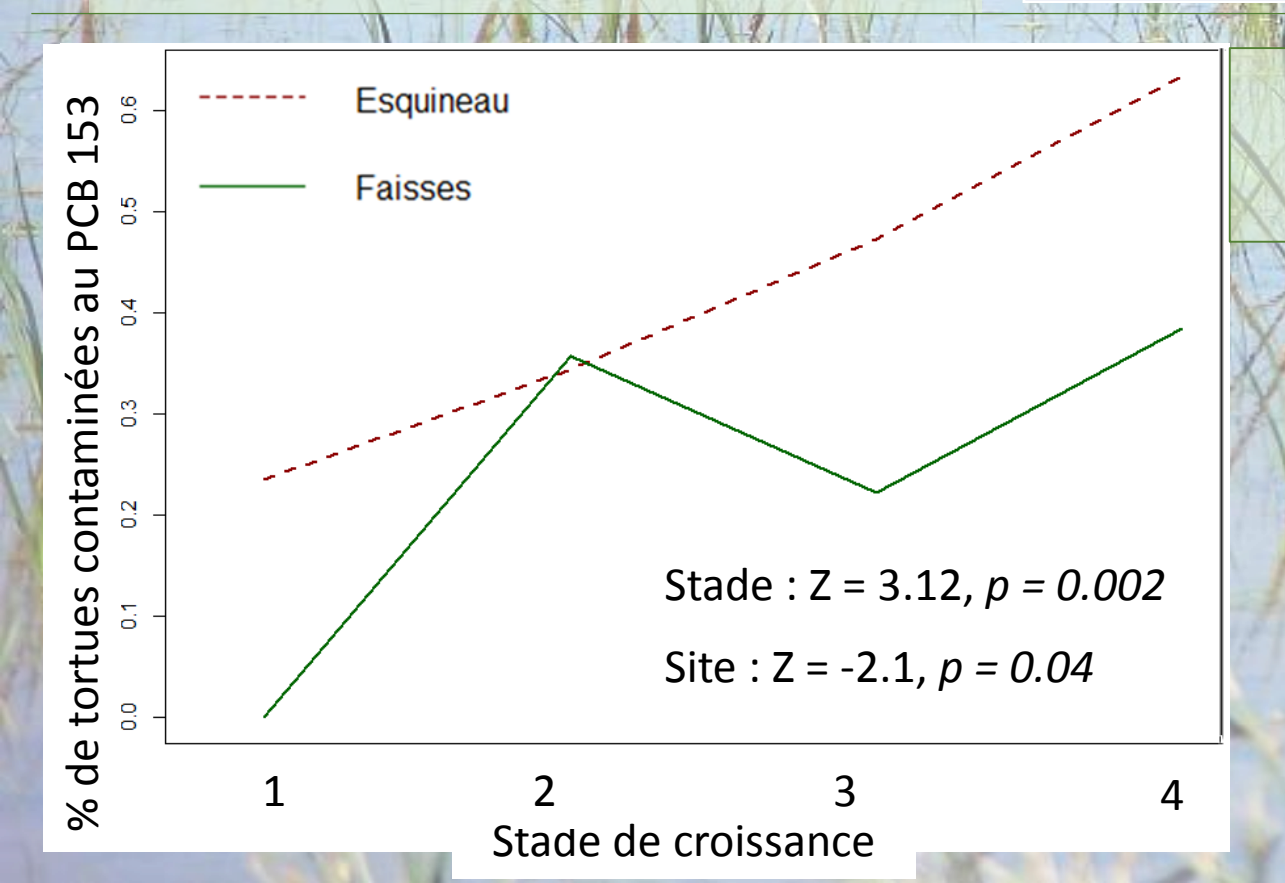
Ouisane Burkart

Discussion et perspectives

Tableau des données d'occurrence (0/1):

→ Plus d'occurrence des ces polluants pour les individus du site des Faïsses

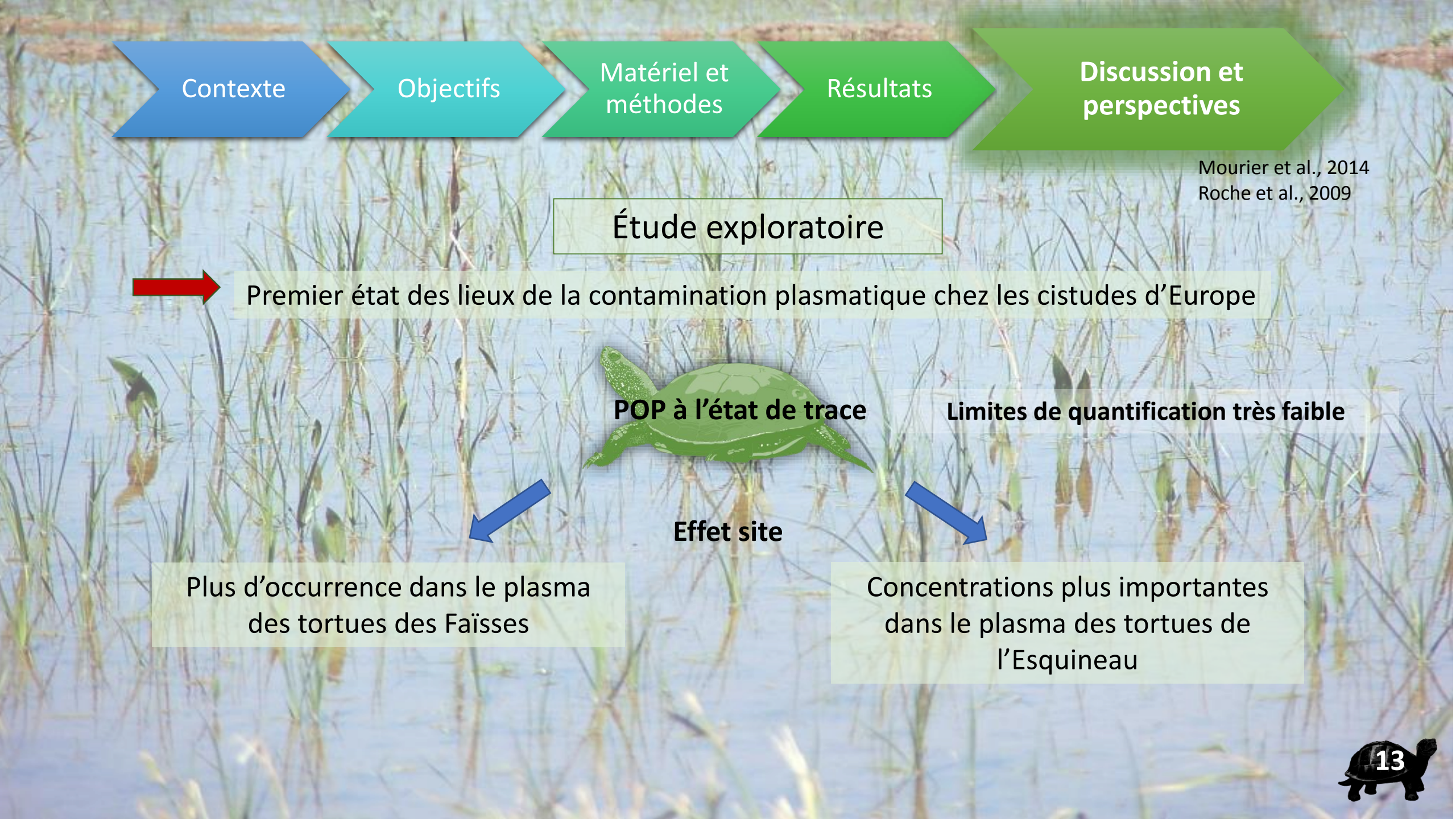
| Polluant | DEET | НСВ | PCB 52 | Isobenzan |
|------------|----------------------|----------------------|-----------------------|----------------------|
| Effet site | Z = 2.7, $p = 0.007$ | Z = 2.2, p = 0.03 | Z = 3.8, $p = 0.0001$ | Z = 2.4, p = 0.02 |

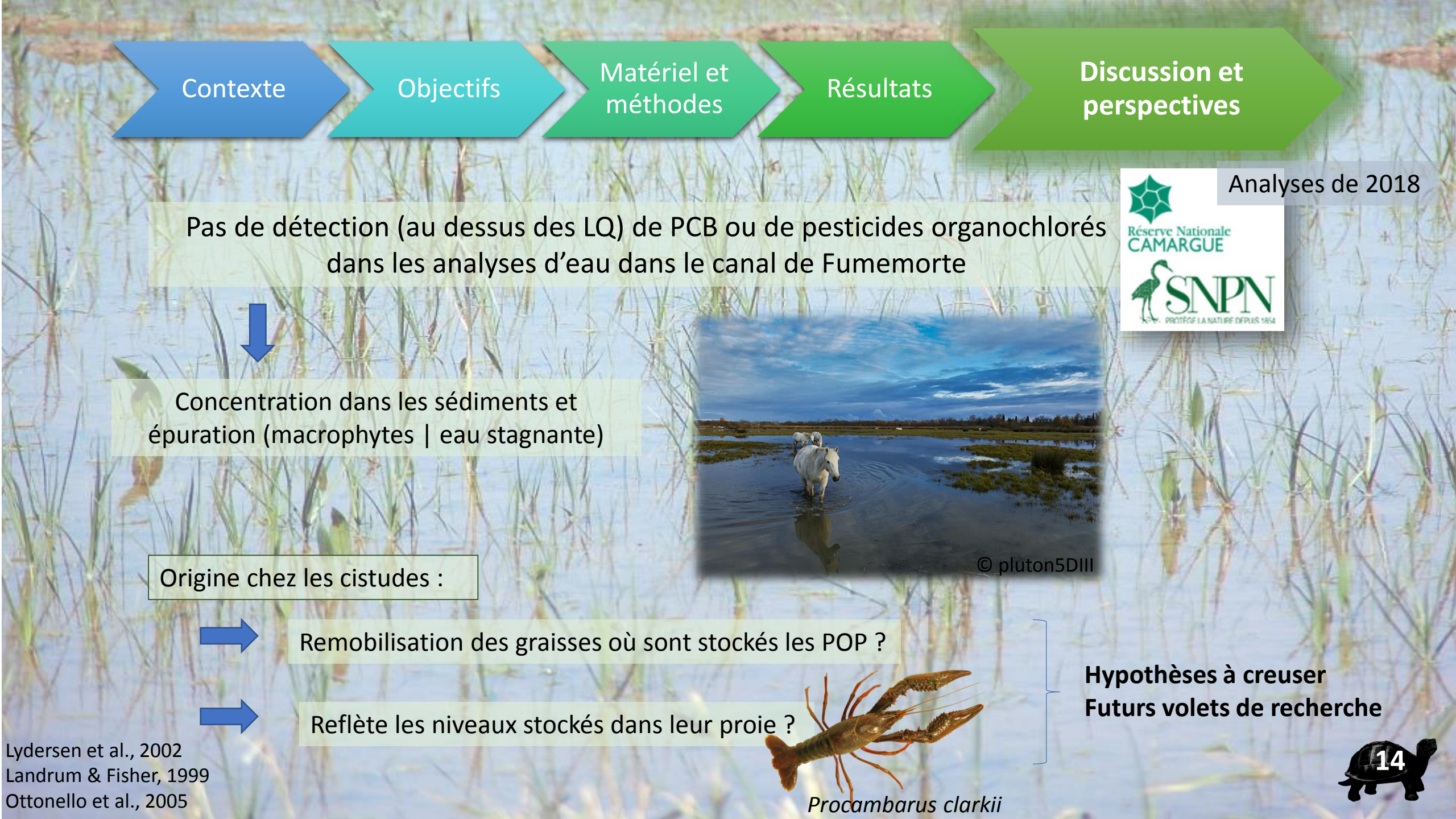


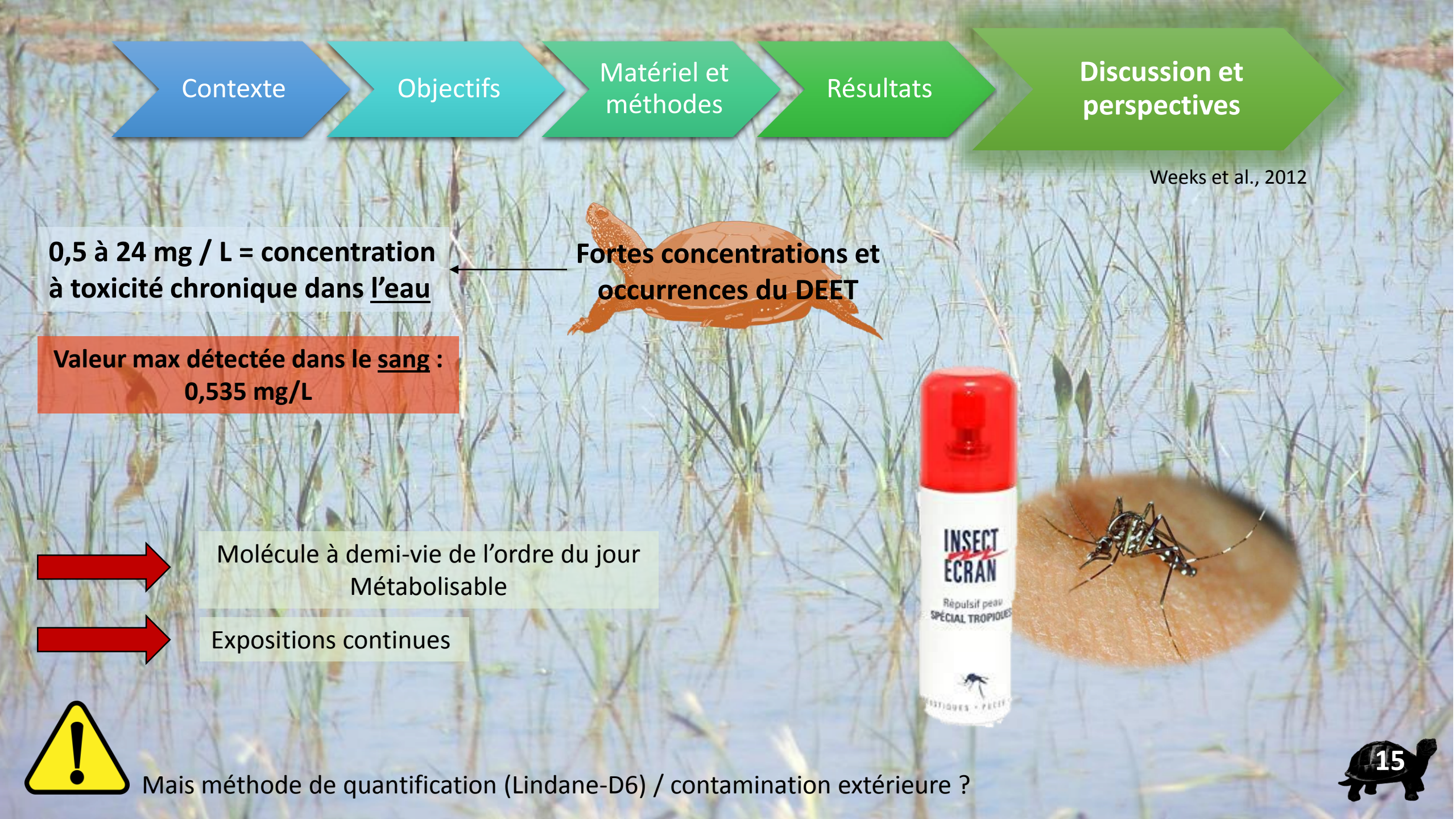
Pourcentage d'occurrence du PCB 153 en fonction du site et du stade de croissance des cistudes

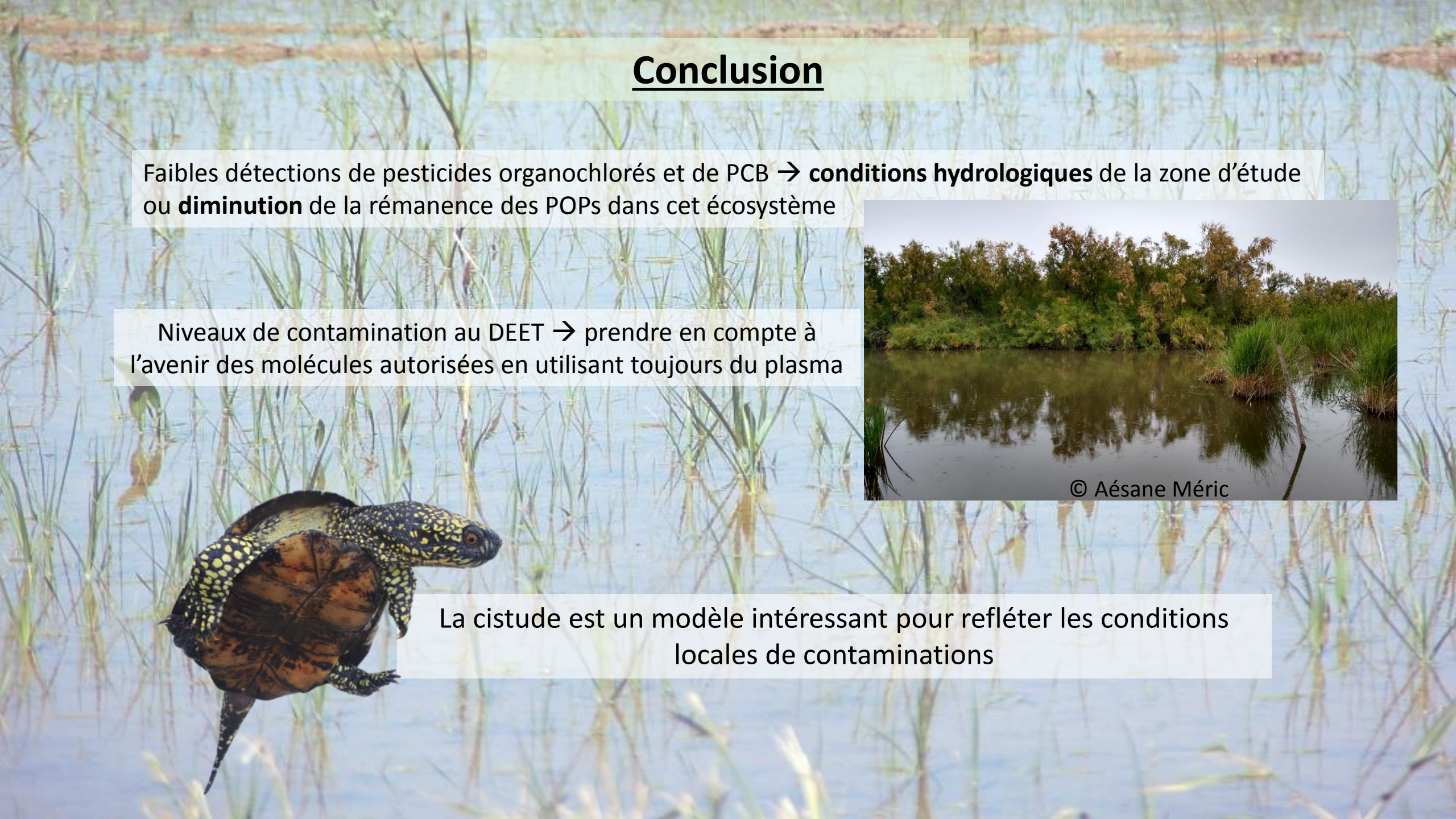
L'âge est également corrélé (p = 0.02)

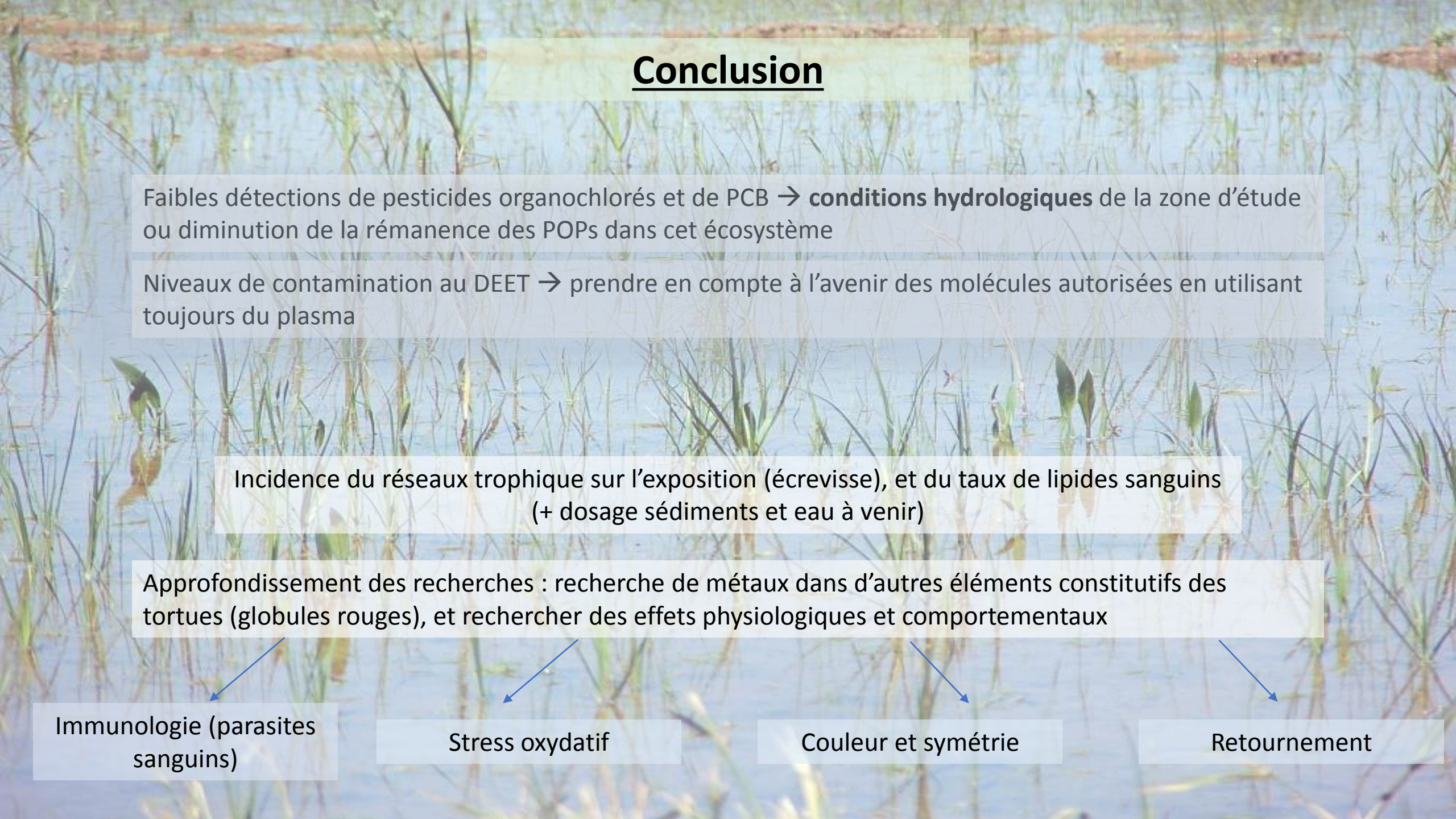


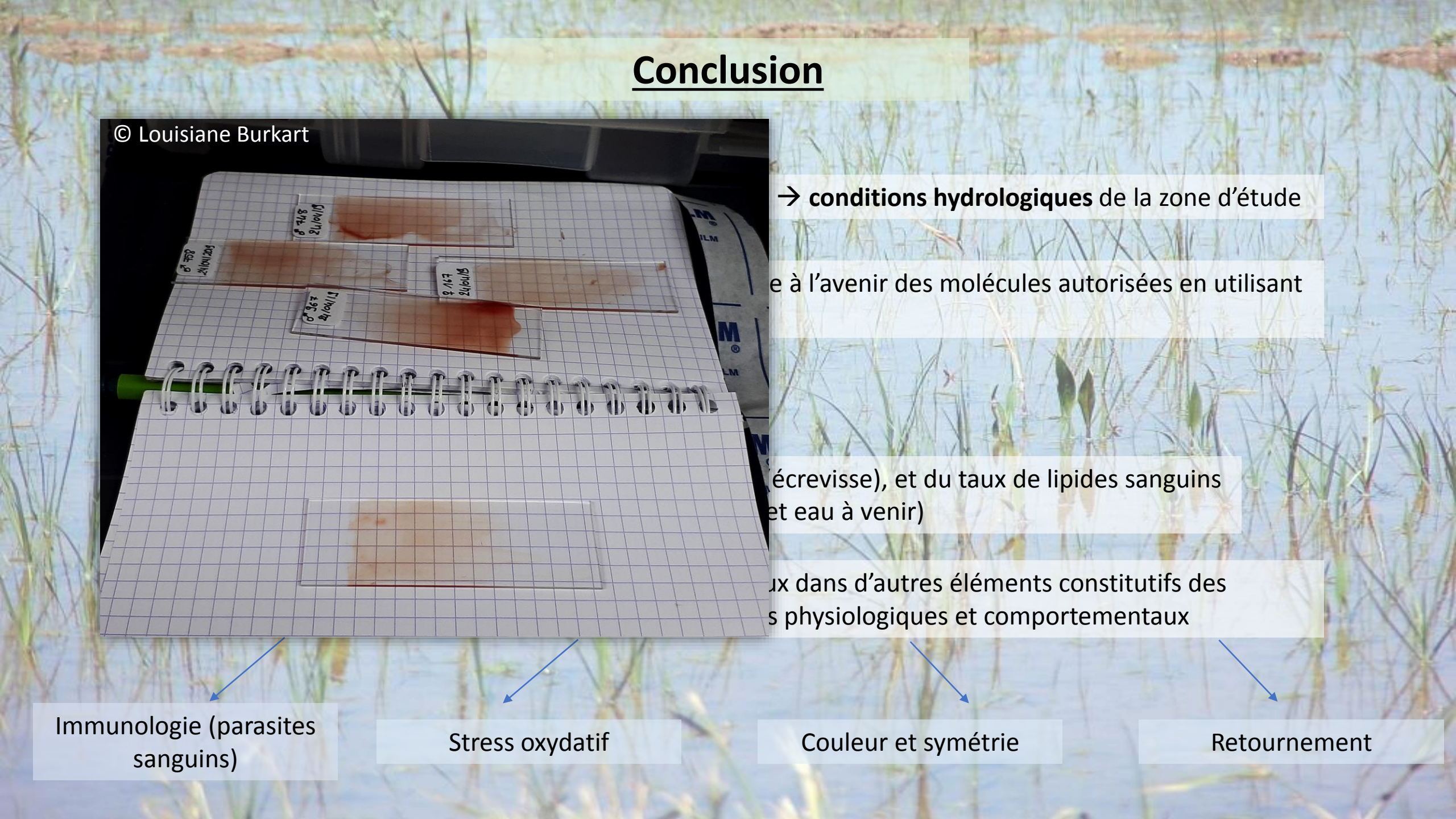












Conclusion

Faibles détections de pesticides organochlo





Immunologie (parasites sanguins)

Stress oxydatif

Couleur et symétrie

Retournement





Détermination du stade de croissance d'une cistude à l'aide de la lisibilité des stries de croissance du plastron



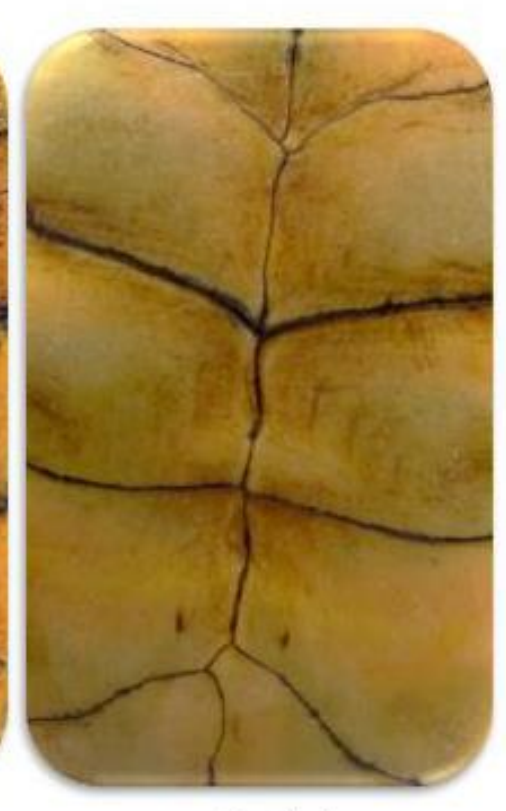
Stade 1
Individus en croissance en général de 1 à 10 ans en Camargue. La ligne horizontale claire d'accroissement au centre du plastron est visible.



Toutes les lignes d'arrêt de croissance sont encore visibles mais la ligne claire d'accroissement n'est plus visible. Il s'agit d'un individu adulte en croissance révolue.



Stade 3
Les lignes d'arrêt de croissance sont en partie effacées. Ce stade correspond à un âge adulte avancé.



Stade 4
Les lignes d'arrêt de croissance ne sont plus visibles. Ce stade correspond aux vieux individus.

